

# 다변수 되먹임 제어기의 요구 조건

■ 강 태 삼

(건국대학교 항공우주정보시스템공학과)

다변수 입출력 제어시스템에서 제어기를 설계하기 위해서는 단일 입출력 시스템에서와 마찬가지로 저주파수영역에서는 루프전달행렬의 크기가 작은 것이 요구되고, 측정잡음 및 플랜트의 불확실성이 존재하는 고주파수 영역에서는 루프전달행렬의 크기가 작게 되도록하여, 잡음의 영향이 출력에 적게 나타나고, 제어기가 포화되지 않도록 하며, 설계된 제어기가 플랜트 모델의 불확실성을 극복할 수 있게 하는 것이 필요하다. 본 원고에서는 각 전달 행렬들의 특이치의 최대 및 최소값들을 이용하여 다변수 제어기가 갖추어야 할 조건들을 정리하였다.

## 1. 표준 되먹임 제어 시스템의 입출력 관계

일반적으로 제어기는 오차를 0으로 만들거나 주어진 명령을 잘 따라가도록 하기 위해 설계된다.

제어기의 성능을 평가하기 위한 요소로는 대역폭, 반응속도, 오버슈트, 정상상태 오차, 안정도의 강인성 등이 고려 대상이다.

이를 위하여 루프 전달함수의 이득을 유지하면서, 안정성을 가지도록 설계하는 것이 중요하다. 본 원고에서는 MIMO (Multi-Input Multi-Output) 시스템에서 루프 전달함수가 가져야 할 특징과, 이를 구현하기 위한 방법을 살펴본다.

그림 1은 표준 되먹임 제어시스템의 구조를 보여주고 있다. 이때, 입력 루프 전달 행렬(input loop transfer matrix)  $L_i$ 와 출력 전달행렬(output loop transfer matrix)  $L_o$ 는 각각 다음과 같이 정의된다:

$$L_i = KG, \quad L_o = GK.$$

여기서 입력 루프 전달행렬은 루프를 입력단( $u$ )에서 끊었을

때 얻어지는 루프 전달행렬이며, 출력 루프전달행렬은 루프를 출력단( $y$ )에서 끊었을 때 얻어지는 루프 전달행렬이다. 이를 이용하여 입력감도행렬과 출력감도행렬을 다음과 같이 정의한다:

$$S_i = (I + L_i)^{-1}, \quad S_o = (I + L_o)^{-1}$$

그리고 입력 상보감도행렬 (input complementary sensitivity matrix) 및 출력상보감도행렬은 다음과 같이 정의된다.

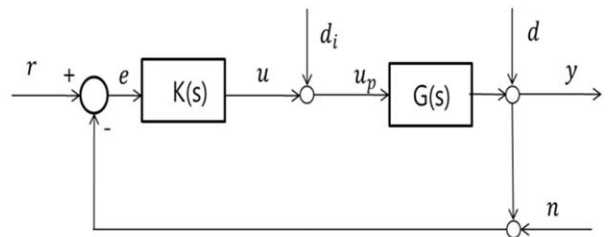


그림 1. 표준되먹임 제어시스템의 구조.

$$T_i = I - S_i, \quad T_o = I - S_o$$

이때, 내부적으로 안정된 시스템에서 다음과 같은 식이 성립함을 쉽게 알 수 있다.

$$y = T_o(r - n) + S_o G d_i + S_o d \tag{1}$$

$$r - y = e = S_o(r - d) + T_o n - S_o G d_i \tag{2}$$

$$u = K S_o(r - n - d) - T_i d_i \tag{3}$$

$$u_p = K S_o(r - n) - K S_o d + S_i d_i \tag{4}$$

## 2. 제어가 갖추어야 하는 일반적 요구 조건

(1)~(4)는 되먹임 제어 시스템에 내재하는 의 근원적인 장점과 설계 목표들을 보여 준다. 즉, (1)은 입력 교란  $d_i$  및 출력 교란  $d$ 의 영향이 출력에 적게 나타나게 하기 위해서는 출력 감도 행렬  $S_o$ 가 작아야 함을 알 수 있다. 또한 (4)에서 입력 교란의 영향이 제어 입력  $u$ 에 영향을 덜 미치게 하기 위해서는 입력 감도 행렬  $S_i$ 의 크기가 작도록 하면 됨을 알 수 있다.

그런데 여기서 입력 감도 행렬, 출력 감도 행렬 등은 모두 행렬이므로 그 크기를 비교하기 위해서 보통 최대 특이치 ( $\bar{\sigma}$ ) 및 최소 특이치 ( $\underline{\sigma}$ )를 이용한다.

이때, 출력  $y$ 에서 출력 교란  $d$ 의 영향을 줄이기 위해서는  $\bar{\sigma}(S_o)$ 가 작게, 즉,

$$\bar{\sigma}(S_o) = \bar{\sigma}((I + GK)^{-1}) = \frac{1}{\underline{\sigma}(I + GK)} \ll 1 \tag{5}$$

이 성립되어야 하고, 출력  $y$ 에서 입력 교란  $d_i$ 의 영향을 줄이기 위해서는  $\bar{\sigma}(S_o G)$ 가 작게, 즉,

$$\bar{\sigma}(S_o G) = \bar{\sigma}((I + GK)^{-1} G) = \bar{\sigma}(G S_i) \ll 1 \tag{6}$$

이 성립되어야 한다.

또한, 플랜트 입력  $u_p$ 에서 교란 제거(rejection)를 위해서, 플랜트 입력 단에서의 입력 교란  $d_i$ 의 영향을 줄이기 위해서는

$$\bar{\sigma}(S_i) = \bar{\sigma}((I + KG)^{-1}) = \frac{1}{\underline{\sigma}(I + KG)} \ll 1 \tag{7}$$

이 성립되어야 하고, 플랜트 출력 단에서의 출력 교란  $d$ 의 영

향을 줄이기 위해서는

$$\bar{\sigma}(S_i K) = \bar{\sigma}(K(I + KG)^{-1}) = \bar{\sigma}(K S_o) \ll 1 \tag{8}$$

이 성립되어야 하는데, 특히 대부분의 교란  $d$  및  $d_i$ 가 유효하게 존재하는 저주파 영역에서 작게 유지되는 것이 필요하다.

특이치 관련 부등식을 활용하면,  $\underline{\sigma}(GK) > 1$ 일때,

$$\frac{1}{1 + \underline{\sigma}(GK)} \leq \bar{\sigma}(S_o) \leq \frac{1}{\underline{\sigma}(GK) - 1}$$

이 성립하고,  $\underline{\sigma}(KG) > 1$ 일 때,

$$\frac{1}{1 + \underline{\sigma}(KG)} \leq \bar{\sigma}(S_i) \leq \frac{1}{\underline{\sigma}(KG) - 1}$$

이 성립한다. 따라서, 이때, 다음과 같은 식이 성립한다.

$$\bar{\sigma}(S_o) \ll 1 \Leftrightarrow \underline{\sigma}(GK) \gg 1 \tag{9}$$

$$\bar{\sigma}(S_i) \ll 1 \Leftrightarrow \underline{\sigma}(KG) \gg 1 \tag{10}$$

$G$ 와  $K$ 의 역행렬이 존재한다고 가정하면,

$$\underline{\sigma}(GK) \gg 1 \text{ 또는 } \underline{\sigma}(KG) \gg 1$$

$\Leftrightarrow$

$$\bar{\sigma}(S_o G) = \bar{\sigma}((I + GK)^{-1} G) \approx \bar{\sigma}(K^{-1}) = \frac{1}{\underline{\sigma}(K)} \tag{11}$$

$$\bar{\sigma}(K S_o) = \bar{\sigma}(K(I + GK)^{-1}) \approx \bar{\sigma}(P^{-1}) = \frac{1}{\underline{\sigma}(P)} \tag{12}$$

따라서 출력  $y$ 에서의 좋은 성능을 위해서는 (5) 및 (9)에서, 출력 교란  $d$ 의 영향을 줄이기 위해서는  $d$ 가 유효하게 큰 값을 가지는 주파수 범위에서 다음이 만족되어야 하고,

$$\underline{\sigma}(L_o) = \underline{\sigma}(GK) \gg 1 \tag{13}$$

입력 교란  $d_i$ 의 영향을 줄이기 위해서는 (6) 및 (11)에서  $d_i$ 가 유효하게 큰 값을 가지는 주파수 범위에서 다음이 만족되어야 한다.

$$\underline{\sigma}(K) \gg 1 \tag{14}$$

같은 논리로 보면, 플랜트 입력  $u_p$ 에서 좋은 성능을 위해서는,  $d_i$ 가 유효하게 큰 값을 가지는 주파수 범위에서는 (7)과 (10)에서,

$$\underline{\sigma}(L_i) = \underline{\sigma}(KG) \gg 1 \quad (15)$$

이 성립해야 하고, 출력 교란  $d$ 가 유효하게 큰 값을 가지는 주파수 범위에서는 (8)과 (12)에서

$$\underline{\sigma}(G) \gg 1 \quad (16)$$

이 유지되어야 함을 알 수 있다. 그런데 (16)에서 플랜트  $G$ 는 고정된 것이므로, 제어기의 설계를 통하여 바꿀 수 없음을 유의할 필요가 있다. 즉, 출력 교란  $d$ 가 입력  $u_p$ 에 영향을 덜 주기 위해서는 플랜트 자체의 이득이 커야 하며, 제어기로는 변경할 수 없다.

### 3. 안정도 강인성을 위한 요구 조건

제어기 설계에 있어서 간과하기 쉬운 것이, 플랜트에는 항상 상당한 정도의 불확실성이 존재한다는 것이다. 이 불확실성은 플랜트 자체가 시간이 지남에 따라 변하는 경우가 있고, 또 시스템 자체의 복잡성으로 인해 각 패러미터를 세밀하게 계산할 수 없으므로 인해서 생기는 경우도 있고, 비선형 항을 선형으로 근사화하는 과정에서, 또는 고차의 시스템을 저차의 시스템으로 근사화하는 과정 등에서도 생겨나며, 바람이나 온도 등 주변 환경의 변화에 의해서도 생겨난다. 따라서 이러한 불확실성을 고려하지 않고 제어기를 설계하면 성능뿐 아니라 안정성 자체가 유지 되지 않는 경우도 많이 발생한다. 시뮬레이션에서는 잘 동작하는데, 실제 제어기로 구현해서 실험할 때는 잘 동작하지 않고, 여러 패러미터를 재 튜닝해야 되는 경우가 자주 있는데, 이것은 이러한 플랜트 자체의 불확실성을 고려하지 않고 제어기를 설계하였기 때문에 생기는 것이다.

플랜트  $G$ 가  $G(I + \Delta)$ 로 변했을 때를 고려하자. 여기서 불확실성  $\Delta$ 는 안정하고, 기준 플랜트  $G$ 도 안정하다고 가정한다. 이때 변화된 플랜트의 폐루프 시스템은 다음 식이 우측 반평면에 영점을 갖지 않으면 된다.

$$\det(I + (I + \Delta)GK) = \det(I + GK)\det(I + \Delta T_o) \quad (17)$$

이를 위해서는  $\det(I + \Delta T_o)$ 가 우측 반평면에 영점을 갖지 않으면 되고, 이는  $\|\Delta T_o\|$ 이 작거나 또는  $\Delta$ 가 크게 유지되는 영역에서  $\bar{\sigma}(T_o)$ 의 크기가 작게 유지되면 된다.  $\bar{\sigma}(T_o)$ 의 크기는 대체로 폐루프 시스템이 감내할 수 있는  $\|\Delta\|$ 의 크기에 반비례하므로, 불확실성이 예상되는 영역에서  $\bar{\sigma}(T_o)$ 의 크기

가 1에 비하여 클수록 안정성의 강인도는 떨어진다. 대개 또는  $\Delta$ 가 크게 유지되는 영역은 고주파 영역이고, 따라서 이 영역에서  $\bar{\sigma}(T_o)$ 를 작게 하면 되고 이는  $\Delta$ 가 크게 유지되는 고주파 영역에서  $\bar{\sigma}(L_o)$ 를 작게 함으로 이루어진다.

### 4. 센서 잡음 감쇄를 위한 요구 조건

센서 잡음 ( $n$ )이 출력에 미치는 영향을 줄이기 위해서는 (1)에서 알 수 있듯이,  $\|T_o\|$ 를 작게 하여야 한다. 그런데 (1)에서 교란의 영향을 작게 하기 위해서는  $\|S_o\|$ 의 크기를 작게 하여야 하며, 이는 서로 양립할 수 없다. 이는  $S_o + T_o = I$ 가 항상 성립하며,  $\|S_o\|$ 와  $\|T_o\|$ 중 하나가 작아지면 다른 하나는 커져야 하기 때문이다.

특히 높은 주파수 영역에서  $\underline{\sigma}(L_o(j\omega))$ 를 크게 유지하면  $\|S_o\| \ll 1$ 이 되고  $T_o \approx I$ 가 되며, 따라서 (1)식은

$$y = T_o(r - n) + S_o G d_i + S_o d \approx r - n \quad (18)$$

이 되어 폐루프 시스템은 잡음을 그대로 식은 그대로 출력에 영향을 미침을 알 수 있다.

특히, 플랜트  $G$ 의 대역폭보다 더 높은 주파수 영역에서 루프 이득을 크게 유지하려면, 즉,  $\bar{\sigma}(G(j\omega)) \ll 1$ 일 때,  $\underline{\sigma}(L_o(j\omega)) \gg 1$  또는  $\underline{\sigma}(L_i(j\omega)) \gg 1$ 가 되도록 하면, (3)에서

$$\begin{aligned} u &= K S_o(r - n - d) - T_i d_i \\ &= S_i K S(r - n - d) - T_i d_i \\ &\approx G^{-1}(r - n - d) - d_i \end{aligned} \quad (19)$$

가 되어, 제어 입력  $u$ 가 매우 커져서 제어기의 포화를 야기할 수 있다. 즉, 제어시스템의 대역폭이 플랜트  $G$  자체의 대역폭보다 클 경우 센서 잡음과 출력 교란은 크게 증폭되어 제어기를 포화시킨다.

비슷한 이유로, 루프 이득이 작을 경우 즉,  $\bar{\sigma}(L_o(j\omega)) \ll 1$  또는  $\bar{\sigma}(L_i(j\omega)) \ll 1$ 일 경우,  $\bar{\sigma}(K)$ 는 너무 크지 않도록 해야 한다. 이는 (3)이

$$u = K S_o(r - n - d) \approx K(r - n - d) \quad (20)$$

와 같이 근사화될 수 있고, 따라서 잡음과 출력 교란이 바로 제어기의 이득에 곱해져서 출력으로 나타나기 때문이다. 이런 이유로 루프 이득이 작을 경우에는  $\bar{\sigma}(K)$ 가 너무 크지 않도록 하는 것이 유리하다.

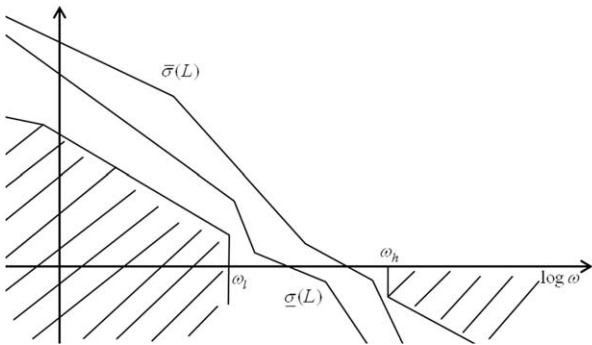


그림 2. 바람직한 루프 이득범위.

### 5. 좋은 제어기의 요구 조건 요약

이상에서 다음과 같은 결과를 요약할 수 있다. 즉, (1) 좋은 성능을 얻기 위해서는 시스템의 동작 영역, 특히  $(0, \omega_g)$ 로 주어지는 저주파 영역에서

$$\underline{\sigma}(GK) \gg 1, \underline{\sigma}(KG) \gg 1, \underline{\sigma}(K) \gg 1 \quad (21)$$

이 만족되어야 하고, (2) 센서 잡음을 효과적으로 억제하고 플랜트의 불확실성  $\Delta$ 에 대하여 안정성이 강인하게 유지되도록 하기 위해서는 너무 크지 않은  $M$ 에 대하여, 불확실성과 센서 잡음이 주로 존재하는 높은 주파수 영역  $(\omega_h, \infty)$ 에서 다음이 성립하면 된다.

$$\overline{\sigma}(GK) \ll 1, \overline{\sigma}(KG) \ll 1, \overline{\sigma}(K) \ll M \quad (22)$$

이것을 그림으로 요약하면 그림 2와 같다.

### 6. 실제 제어 시스템 설계시의 예

다음은 소형 무인 헬리콥터에서 롤과 피치 자세를 영 상태로 제어하기 위한 선형 모델이다.

$$\begin{aligned} \dot{x} &= Ax + Bu \\ y &= Cx \end{aligned} \quad (23)$$

여기서,

$$\begin{aligned} x &= [q \ \theta \ a_{1s} \ p \ r \ \phi \ b_{1s}]^T \\ u &= [\delta_{long} \ \delta_{lat}]^T, \\ y &= [q \ \theta \ p \ r \ \phi]^T, \end{aligned}$$

$$A = \begin{bmatrix} 0 & 0 & 102.12 & 0 & 0 & 0 & 42.129 \\ 1 & 0 & 0 & 0 & 0 & 0 & 0 \\ -1 & 0 & -12.51 & 0 & 0 & 0 & -5.11 \\ 0 & 0 & -1.2862 & 0 & 0 & 0 & 113.64 \\ 0 & 0 & 0 & -0.54558 & -6.1743 & 0 & 0 \\ 0 & 0 & 0 & 1 & 0 & 0 & 0 \\ 0 & 0 & 3.422 & -1 & 0 & 0 & -12.396 \end{bmatrix}$$

$$B = \begin{bmatrix} 0 & 0 \\ 0 & 0 \\ -11.694 & 3.7466 \\ 0 & 0 \\ 0 & 0 \\ 0 & 0 \\ 2.3852 & 11.383 \end{bmatrix}$$

이때, 동적 제어를 다음과 같이 설계하였다고 가정 하자.

$$\begin{aligned} \dot{x}_k(t) &= A_k x_k(t) + B_k y(t) \\ u(t) &= C_k x(t) \end{aligned} \quad (24)$$

여기서,

$$A_k = \begin{bmatrix} -12 & 11 & -66 & -252 & -50 & -65 & 5 \\ 10 & -47 & -5 & 191 & -245 & -22 & 45 \\ -60 & 28 & -378 & -1213 & -510 & -442 & 66 \\ -59 & 37 & -323 & -1439 & -442 & -363 & -94 \\ -6 & -35 & -118 & -141 & -494 & -295 & -12 \\ -9 & 32 & -18 & -192 & 87 & -60 & -55 \\ 2 & 3 & 24 & 63 & 57 & 28 & -10 \end{bmatrix},$$

$$B_k = \begin{bmatrix} 3.4 & -5.93 & 0.11 & 15.8 & -22.5 \\ 5.56 & 8.94 & -0.14 & 18.9 & 20 \\ 24.7 & -18.9 & 0.2 & 35.1 & -27.9 \\ 25.8 & -40.2 & 0.41 & 38.6 & -47.4 \\ 23.5 & 6.66 & -0.02 & 21.2 & 2.51 \\ 3.04 & -4.67 & 0.02 & 4.01 & -5.97 \\ -1.28 & -0.09 & 0.03 & -1.50 & 0.29 \end{bmatrix},$$

이때, 플랜트 및 제어기의 최대 및 최소 특이치 들은 그림 3과 같이 주어진다. 여기서 보면 플랜트 자체의 대역은 약 90 rad/sec 정도이고, 제어기가 추가된 시스템의 대역폭도 비슷한

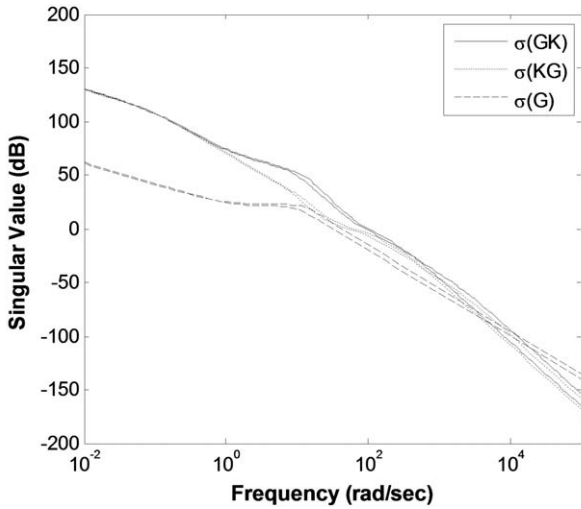


그림 3. 바람직한 루프 이득범위.

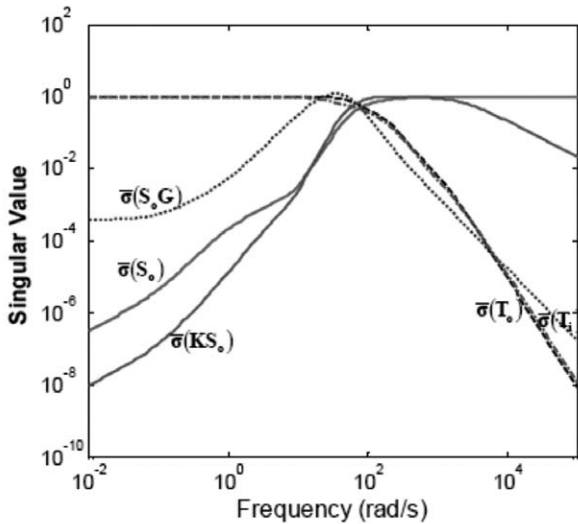


그림 4. 바람직한 루프 이득범위.

값을 가짐을 알 수 있다.

그리고 약 30 rad/sec까지는  $\sigma(GK) \gg 1$ ,  $\sigma(KG) \gg 1$ 이며, 그림에는 나타나지 않았지만  $\sigma(K) \gg 1$ 이므로 추적 성능이 0~30 rad/sec 범위에서는 잘 유지 될 것을 예측할 수 있다.

또한 200 rad/sec 이상의 범위에서는  $\bar{\sigma}(GK) \ll 1$ ,  $\bar{\sigma}(KG) \ll 1$ 가 유지되며, 또한 그림에는 나타나지 않았지만  $\bar{\sigma}(K)$

$\ll M$ 이 유지된다. 따라서 200 rad/sec 이상의 범위에서 들어오는 센서 잡음의 효과가 잘 억제 될 것을 알 수 있고, 플랜트의 불확실성에 대한 안정성의 강인성도 유지될 것을 예측할 수 있다.

그림 4는  $\bar{\sigma}(T_o)$  등을 보여주고 있는데, 고주파 영역에서 최대 크기가 1.26 정도이고, 따라서 (24)로 주어지는 제어기는  $\|\Delta\|_\infty < 1/1.26$ 인 변화된 플랜트  $G(I + \Delta)$ 에 대해 안정성을 유지한다.

### 7. 결론

본 원고에서는 다변수 입출력 되먹임 제어 시스템에서 어떻게 교란을 효과적으로 제어하면서 안정성의 강인성을 유지할 수 있는지를 살펴 보았다. 요약하면, 저주파 영역에서는 루프의 특이치가 크고 제어기의 특이치도 크도록 설계를 하며, 잡음 및 플랜트의 불확실성이 있는 고주파 영역에서는 루프 전달 행렬의 특이치가 작고, 제어기의 특이치도 작은 값을 유지하도록 설계하면 된다. 되먹임 제어 시스템의 대역 폭은 플랜트 자체의 대역폭보다 크지 않도록 설계하는 것이 바람직하다.

### 참고문헌

[1] K. Zhou, and J.C. Doyle, *Essentials of Robust Control*, Prentice Hall, 1998.  
 [2] 김종식, 선형제어시스템 공학, 청문각, 1992.  
 [3] B.C.KUO, *Automatic Control Systems*, Prentice-Hall International Editions, 1991.

### 저자약력



#### 강 태 삼

- 1986, 1988, 1992년 서울대학교 제어계측 공학과 학사, 석사, 박사졸업.
- 1999년~2001년 호서대학교 제어계측공학과 교수,
- 2001년~현재 건국대학교 항공우주정보시스템공학과 교수.

· 관심분야 : 자동제어 및 비행제어 응용, 관성 센서 및 응용